## 丹皮酚对食管鳞癌细胞株 Eca-109 的体外放射增敏作用和机制

吴 珊 权循凤 孙国平 金问森 陈先平 汪 志 雷 宇 吴 丹

摘要 目的 探讨丹皮酚在体外对人食管癌 Eca-109 细胞 放射增敏作用的机制。方法 采用 MTT 法检测丹皮酚对 Eca-109 细胞的增殖抑制作用。松胞素 B(CB) 微核法研究 丹皮酚对 Eca-109 放射敏感性的影响。克隆形成试验观察 丹皮酚对 Eca-109 细胞的放射增敏作用。免疫组织化学法 分析射线联合丹皮酚对 Eca-109 细胞的 COX-2 和 Survivin 表 达的影响。结果 ① 丹皮酚对人食管癌细胞 Eca-109 有生 长抑制作用,半数抑制浓度( $IC_{50}$ )为(59.40 ± 2.23) mg/L。 ② 7.81 mg/L 丹皮酚加重照射后 Eca-109 细胞的染色质损 伤 提高其放射敏感性。③ 克隆形成实验显示,丹皮酚对 Eca-109 细胞有增敏作用 放射增敏比为 1.092。 ④ 6 Gy X 射线照射后 48 h ,Eca-109 细胞中的 COX-2 和 Survivin 的表 达增加(P<0.01) 3.91、7.81、15.63 mg/L 丹皮酚可不同程 度降低照射后 COX-2 和 Survivin 的表达 其中 3.91 mg/L 丹 皮酚对 COX-2 表达的下调差异无统计学意义,其余差异均 有统计学意义 (P < 0.01)。两种蛋白表达的变化呈正相关 性(r=0.955 P<0.05)。结论 丹皮酚在体外对人食管癌 细胞 Eca-109 有放射增敏作用,其作用机制可能与下调 COX-2 和 Survivin 两种蛋白的表达相关。

关键词 丹皮酚;食管癌;放射增敏;COX-2;Survivin 中图分类号 R 735.1

文献标志码 A 文章编号 1000-1492(2014)10-1418-05

放疗是中晚期食管癌主要的局部治疗手段。如何提高食管癌细胞对放射治疗的敏感性一直是研究的热点。丹皮酚是牡丹、芍药根皮和徐长卿干燥根或全草的主要有效成分,药理作用广泛,毒性低,具有明显的体内、体外抗肿瘤作用<sup>[1]</sup>,已有文献<sup>[2]</sup>报道其在体外对人肺腺癌细胞 A549 有放射增敏作用。该研究旨在观察丹皮酚对人食管鳞癌细胞株 Eca-109 放射效应的影响,探索其机制,以期为食管

2014-05-18 接收

基金项目: 安徽省教育厅自然科学基金重点项目(编号: KJ2010A170)

作者单位:1安徽医科大学第四附属医院肿瘤科 ,合肥 230022 安徽医科大学第一附属医院2 放疗科、3 肿瘤科 ,合肥 230022

4安徽医科大学核医学教研室 ,合肥 230032

作者简介:吴 珊 女 医师 硕士研究生;

权循凤,女,主任医师,硕士生导师,责任作者,E-mail: xunfengquan@163.com 癌的临床治疗探寻新的方法。

#### 1 材料与方法

- 1.1 细胞株与主要试剂 人食管癌细胞株 Eca-109 (上海生命科学研究院);丹皮酚注射剂(上海第一制药厂);RPMI1640 培养粉、二甲基亚砜(DMSO) (美国 GIBCO 公司);胎牛血清(杭州四季青生物材料研究所);四甲基偶氮唑蓝(MTT)、松胞素 B(Cy-tochalasin B, CB)、吉姆萨粉(美国 Sigma 公司);兔抗人 COX-2、Survivin 抗体(美国 Santa Cruz 公司);SP 染色试剂盒、DAB 试剂(北京中杉金桥生物技术有限公司)。
- 1.2 主要仪器与设备 酶标仪 ELx800 Strip reader (美国 Bio-Tek 公司); 医用直线加速器 Clinic 600C-SN272(美国 Varian 公司); 生物图像分析系统: 生物显微镜(Nikon ECLIPSE 80i); 数码照相机(Nikon DXM1200F); JEOA801D 6.0 图像分析软件。

#### 1.3 方法

- 1.3.1 细胞培养及照射 人食管癌 Eca-109 细胞培养于 RPMI1640 培养基(含10%热灭活胎牛血清、青霉素及链霉素)中 置于37 ℃、饱和湿度、5% CO₂培养箱中培养。常规消化、传代 取对数生长期细胞用于实验。照射条件: Clinic 600C-SN272 型直线加速器 能量 6 MV ,X 射线吸收剂量率为 250 cGy/min ,垂直照射 源靶距 100 cm ,照射野为 10 cm ×10 cm ,细胞表面覆盖 1.0 cm 组织补偿物。按实验设计吸收剂量进行照射。
- 1.3.2 MTT 法测定丹皮酚对 Eca-109 细胞的增殖 抑制作用 设立药物组、细胞对照组和空白对照组,每组 6 个平行孔 贴壁后 药物组加入不同浓度的丹皮酚 培养 48 h,加入 20  $\mu$ l MTT 继续培养 4 h,弃上清液 加入 150  $\mu$ l DMSO,低速避光振荡 10 min,酶标仪测定 490 nm 处吸光度值 (absorbance , A)。求得药物对肿瘤细胞的生长抑制率,采用改良寇氏法计算半数抑制浓度 (median inhibitory concentration , IC  $_{so}$ )。
- 1.3.3 CB 微核法检测丹皮酚对 Eca-109 细胞的放射敏感性的影响 接种单细胞悬液于 60 mm 直径的平皿内 ,每皿接种  $1.5 \times 10^5$  个细胞 ,随机分为单

纯照射组和照射 + 丹皮酚组。贴壁后,照射 + 丹皮 酚组换用含丹皮酚的培养液培养 24 h ,单纯照射组 换新鲜培养液,直线加速器 X 射线照射,吸收剂量 分别为 0、1、2、3 和 5 Gy ,完成照射后立即移去培养 基 PBS 清洗 2 次 ,加入含 CB ( 终浓度 4.0 μg/ml ) 的新鲜培养基继续培养 48 h,胰酶消化,收集细胞, 1500 r/min 离心 5 min 弃上清液 加入预温的低渗 液处理后固定 常规滴片 ,每个剂量点制片 3 张 ,干 燥 Giemsa 染色。油镜下观察 1 000 个双核细胞/ 片 细胞不够时观察可计数的全部双核细胞数。微 核判定标准:位于主核大小一致的双核细胞胞质内, 核膜独立或核浆桥相连;微核直径为主核的1/16~ 1/3;圆形或卵圆形,染色与主核相同,与主核分开; 无折光性,可与伪影分开。微核细胞率(micronucleus cell frequency, MNCF) 为有微核的双核细胞数占 总双核细胞数的比率 微核率(micronucleus frequency, MNF) 为微核总数占总双核细胞数的比率,以千 分率(%)表示。

1.3.4 克隆形成试验检测丹皮酚对 Eca-109 细胞 的放射增敏作用 制单细胞悬液 计数细胞浓度 逐 级稀释后取适量细胞于 60 mm 直径的平皿上,设3 个平行皿,贴壁后,随机分为4组:对照组、药物组、 照射组、药物 + 照射组 药物组及药物 + 照射组给予 不同浓度丹皮酚继续培养 24 h 对照组及照射组换 等量培养基继续培养24 h。照射组及药物+照射组 予以 X 射线照射 照射后 4 h 更换培养液 继续培养 10~14 d,待集落形成后,固定、Giemsa染色,计含 50 个细胞以上的克隆数。克隆形成率(planting efficiency, PE)(%) = (克隆数/接种细胞数) × 100%。 细胞存活率(survival fraction, SF)(%) = [试验组 的克隆数/(该组细胞接种数×细胞对照组 PE)]× 100%。药物 + 照射组的 SF 均用单纯药物组的 SF 校正,以消除药物的影响。单击多靶模型拟合细胞 存活曲线,计算平均致死剂量(D。值),增敏比  $(SER_{D0} = 对照组 D_0 值/试验组 D_0 值)$ 。

1.3.5 免疫细胞化学法检测丹皮酚对射线引起的 COX-2 和 Survivin 表达变化的影响 采用免疫组化 SP 染色法。接种细胞于无菌盖玻片,贴壁后加不同浓度的药物作用 20 h,直线加速器照射 6 Gy,照射后 4 h 更换培养基,对照组无需照射,于相同时间更换新鲜培养基,继续培养 48 h,PBS 漂洗 95% 乙醇固定 30 min,染色具体操作步骤按试剂说明书进行。采用生物图像分析系统对各组不同处理的细胞中COX-2 或 Survivin 的免疫组织化学结果进行定量检

测 ,各样本随机检测 5 个视野(×400) ,测定平均光密度值 ,用平均光密度表示 COX-2 或 Survivin 的相对含量。

1.4 统计学处理 应用 SPSS 11.0 统计软件进行分析,所有实验重复 3 次,数据以 $\bar{x} \pm s$  表示,两组独立样本间比较采用 t 检验,多样本间比较采用方差分析,采用 Pearson 相关进行相关性分析,MNF、MNCF 与剂量间的关系采用直线回归与相关分析进行处理,克隆形成试验结果采用 Origin 7.5 进行曲线拟合作图。

#### 2 结果

2.1 丹皮酚在体外对 Eca-109 细胞的增殖抑制作用 丹皮酚浓度为 7.81、15.63、31.25、62.50、125.00、250.00 mg/L 时对 Eca-109 细胞的抑制率依次为:  $(5.27\pm1.99)\%$ 、 $(12.14\pm1.22)\%$ 、 $(25.95\pm0.48)\%$ 、 $(40.46\pm3.26)\%$ 、 $(86.20\pm2.47)\%$ 、 $(88.86\pm2.23)\%$ 。  $IC_{50}$  为  $(59.40\pm2.23)$  mg/L。选择接近 20%  $IC_{50}$ 的低毒剂量 (15.63、7.81 和 3.91 mg/L)作为后续试验中的药物浓度 (CB) 微核法药物浓度为 7.81 mg/L)。

2.2 CB 微核法检测丹皮酚体外对 Eca-109 细胞放射敏感性的影响 在  $0 \sim 5$  Gy 照射条件下 ,细胞 MNF 和 MNCF 与照射剂量均呈正相关性 ( $R^2 = 0.950$  P < 0.01;  $R^2 = 0.973$  , P < 0.01)。丹皮酚预处理的细胞 ,MNF 和 MNCF 均高于单纯照射组 (P < 0.05)。提示 7.81 mg/L 丹皮酚加重了 Eca-109 细胞照射后的染色质损伤 ,提高了放射敏感性。见图 1.2。

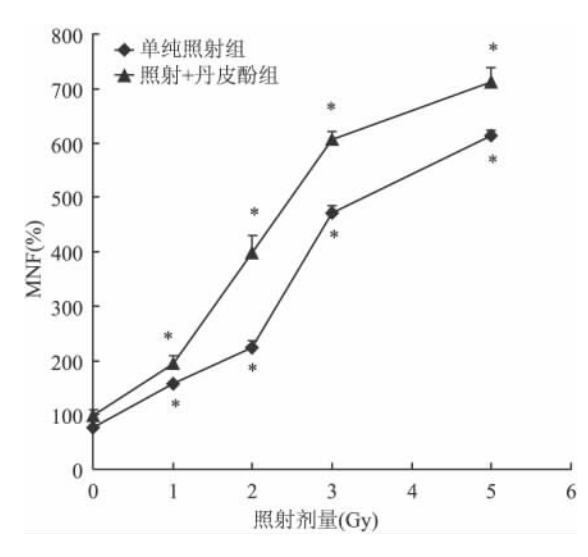


图 1 单纯照射组和照射 + 丹皮酚组 MNF 的剂量效应关系与同组间 0 Gy 组比较:  $^*P < 0.05$ 

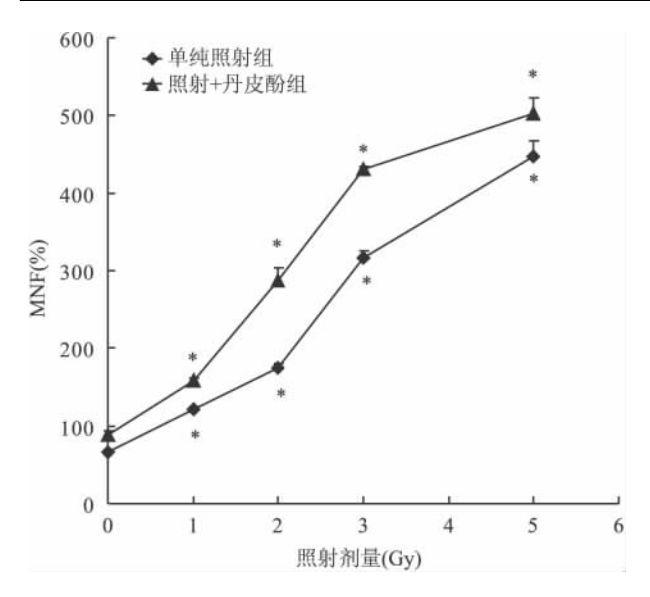


图 2 单纯照射组和照射 + 丹皮酚组 MNCF 的剂量效应关系 与同组间 0 Gy 组比较:  $^*P < 0.05$ 

2.3 克隆形成试验检测丹皮酚对 Eca-109 细胞的放射增敏作用 浓度为 7.81、15.63 mg/L 丹皮酚可提高 Eca-109 细胞的放射敏感性 ,并呈剂量依赖性。按照单击多靶模型应用软件拟合的细胞存活曲线 ,见图 3 ,计算出放射  $SER_{D0}$  分别为: 1.074 和 1.092。 丹皮酚(3.91 mg/L) 未观察到放射增敏作用。

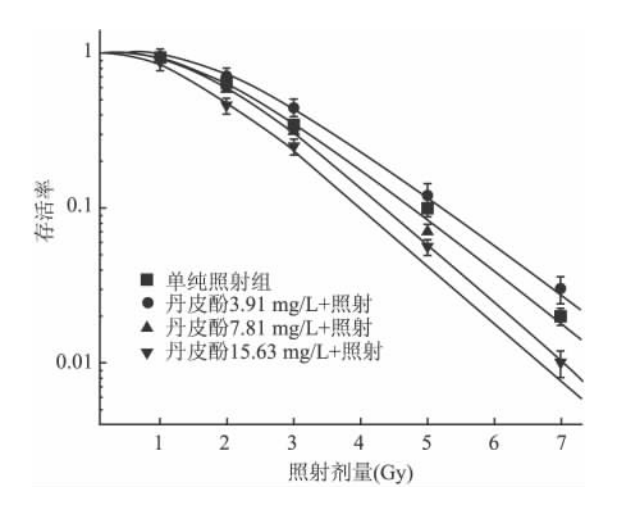


图 3 人食管癌 Eca-109 细胞在不同浓度丹皮酚 与射线联合作用下的存活曲线

**2.4** 丹皮酚和射线对 **Eca-109** 细胞 **COX-2** 和 **Survivin** 表达的影响 细胞内 COX-2 和 Survivin 两种蛋白在不同处理条件下均有表达。方差分析显示,COX-2、Survivin 蛋白的表达在各组间差异有统计学意义(F=54.46、19.27 P<0.01);且相关性分析显示,两者的变化呈正相关性(r=0.955 P<0.05)。

进一步将各组与对照组(丹皮酚 = 0 mg/L,照射剂量为 6 Gy)进行两两比较,见表 1。

表 1 生物图像分析系统定量分析丹皮酚和射线对 Eca-109 细胞中 COX-2 和 Survivin 表达的影响( $\bar{x} \pm s$ )

丹皮酚	照射剂量	光密度值	
(mg/L)	( Gy )	COX-2	Survivin
0	0	0.346 ± 0.017 * *	0.279 ± 0.039 * *
0	6	$0.429 \pm 0.039$	$0.364 \pm 0.021$
3.91	6	$0.396 \pm 0.019$	$0.278 \pm 0.027 * *$
7.81	6	$0.296 \pm 0.012$ * *	$0.213 \pm 0.026 * *$
15.63	6	$0.143 \pm 0.014$ * *	$0.134 \pm 0.008 * *$

与对照组(丹皮酚 = 0 mg/L 照射剂量为 6 Gy) 比较: \*\*P < 0.01

接受照射后 ,细胞中 COX-2 和 Survivin 的蛋白表达增加 (P < 0.01); 先经过 7.81、15.63 mg/L 丹皮酚处理的细胞 ,照射后 COX-2 和 Survivin 的表达明显下调 (P < 0.01); 3.91 mg/L 丹皮酚可下调 COX-2 的表达 ,差异无统计学意义; 而该浓度的丹皮酚对 Survivin 下调表达的影响差异具有统计学意义 (P < 0.01)。

#### 3 讨论

食管癌是我国常见的消化道恶性肿瘤 病理类型以鳞癌为主 多数患者就诊时已处于晚期 注要治疗手段为放疗为主的综合治疗。食管鳞癌放射敏感性为中度 多数患者最终死于肿瘤局部未控和复发。因此 增加肿瘤细胞的放疗敏感性 提高放疗局部控制率是临床亟待解决的问题。丹皮酚对多种肿瘤具有抑制作用 本研究显示丹皮酚可抑制肿瘤细胞中COX-2 和 Survivin 的表达 ,与文献<sup>[3-4]</sup> 研究结果一致 ,而 COX-2 与 Survivin 都是近年来国内外研究的热点和备受关注的抗肿瘤治疗靶点 ,这两者均被认为与肿瘤的放射敏感性相关。

COX-2 是环氧化酶中的一种同工酶 ,一般认为 其在正常生理状态下多数组织中不表达 ,而当受到 生长因子、细胞因子、炎性介质及各种促癌因素刺激 时 表达迅速上调<sup>[5]</sup> 本研究显示 6 Gy 照射条件下 ,细胞中 COX-2 表达增加 ,与文献<sup>[5]</sup> 报道一致。 Kang et al<sup>[6]</sup> 研究认为 COX-2 高表达时可能会通过抑制凋亡发生的机制降低肿瘤对放疗的敏感性。由此推测 经历过照射而存活下来的细胞可能通过上调 COX-2 的表达 ,产生一系列效应减低自身放射敏感性 ,逃避射线的伤害。有研究<sup>[7-8]</sup>显示 COX-2 的选择性抑制剂有提高肿瘤细胞放疗敏感性的作用 ,其

机制包括: 引起细胞周期的改变、诱导凋亡、抑制PGE2 的辐射保护作用、诱导 DNA 损伤、抑制亚致死性损伤的修复、抑制肿瘤血管生成和刺激机体抗肿瘤免疫反应、引发细胞自噬等<sup>[9-10]</sup>。 Survivin 是凋亡抑制蛋白家族中分子量最小,抗凋亡作用最强的成员,其高表达与肿瘤恶性程度相关<sup>[11]</sup>。 有研究者<sup>[12-14]</sup>发现 Survivin 高表达与头颈部、结直肠恶性肿瘤细胞的放射抗拒作用相关。通过药物作用、基因敲除及 RNA 干扰技术下调 Survivin 的表达可增强细胞放射的敏感性,表明细胞内 Survivin 水平与其放射敏感性相关,其机制可能与诱导凋亡、影响细胞周期相关。

本研究显示低毒剂量的天然药物丹皮酚(浓度为7.81 mg/L 和15.63 mg/L)在体外可明显增加食管癌细胞放射敏感性,并呈剂量依赖性。但在3.91 mg/L 浓度组此效应不明显,这可能与药物浓度过低有关。本研究显示 COX-2 和 Survivin 两种蛋白在经历照射后存活的细胞中表达增加,表明了丹皮酚预处理对两者表达的抑制,提示下调细胞内 COX-2 和 Survivin 的表达可能为丹皮酚对人食管鳞癌 Eca-109 细胞放射增敏的部分机制。但具体机制及 COX-2 和 Survivin 之间的关联需进一步深入研究。

#### 参考文献

- [1] 孙国平 沈玉先 涨玲玲 等. 丹皮酚的体内外抗肿瘤作用[J]. 安徽医科大学学报 2002,37(3):183-5.
- [2] 雷 宇 金问森,陈先平,等. 丹皮酚对人肺腺癌 A549 细胞放射增敏作用机制的研究[J]. 中华放射医学与防护杂志 2012, 32(2):166-9.
- [3] 李 骅 汪四旺 涨邦乐. 丹皮酚的药理药理活性和药物动力 学研究进展[J]. 亚太传统医药 2010 β(2):110-2.
- [4] 彭万仁 付卫争 孙国平 ,等. 丹皮酚对人肝癌 BEL-7402 细胞

- 凋亡和 COX-2 Survivin , XIAP c-IAp1 表达的影响 [J]. 中国药理学通报 , 2010 26(6):735 9.
- [5] 梁 熹 胡雅楠 和水祥 等. COX-2 与 C/EBP β 在人肝细胞肝 癌中的表达及其临床意义 [J]. 世界华人消化杂志 ,2010 ,18 (28): 3040 -4.
- [6] Kang M K , Park W , Choi Y L , et al. The effect of cyclooxygen-ase-2 expression on tumor volume response in patients treated with radiotherapy for uterine cervical cancer [J]. J Korean Med Sci , 2009 24(6):1170-6.
- [7] Ma H I , Chiou S H , Hueng D Y ,et al. Celecoxib and radioresis—tant glioblastoma-derived CD133 + cells: improvement in radio—therapeutic effects. Laboratory investigation [J]. J Neurosurg , 2011 ,114(3):651-62.
- [8] 夏 曙 刘 飞 刘细友 筹. COX-2 抑制剂塞来昔布提高人结 肠癌细胞 SW480 的放射敏感性 [J]. 世界华人消化杂志 2010, 18(19):1990-4.
- [9] Kang K B Zhu C ,Yong S K ,et al. Enhanced sensitivity of celecoxib in human glioblastoma cells: Induction of DNA damage leading to p53-dependent G1 cell cycle arrest and autophagy [J]. Mol Cancer , 2009 , 8:66.
- [10] Choy H, Milas L. Enhancing radiotherapy with cyclooxygenase-2 enzyme inhibitor: a rational advance? [J]. J Natl Cancer Inst, 2003, 95 (19):1440-52.
- [11] Ettl T Stiegler C Zeitler K ,et al. EGFR , HER2 , survivin , and loss of pSTAT3 characterize high-grade malignancy in salivary gland cancer with impact on prognosis [J]. Hum Pathol 2012 43 (6):921-31.
- [12] Khan Z Khan N Tiwari R P et al. Down-regulation of survivin by oxaliplatin diminishes radioresistance of head and neck squamous carcinoma cells [J]. Radiother Oncol 2010 96(2):267 -73.
- [13] Xiaoyuan C ,Longbang C ,Jinghua W ,et al. Survivin: a potential prognostic marker and chemoradiotherapeutic target for colorectal cancer [J]. Ir J Med Sci 2010 ,179 (3):327 35.
- [14] 王 勇, 邢春根. RNA 干扰 survivin 联合 X 线放射对大肠癌 SW480 细胞的影响[J]. 中国普通外科杂志 2010 ,19(4):369 -73.

### Mechanism of radiosensitization effect of Paeonol on Eca-109 in vitro

Wu Shan<sup>1</sup>, Quan Xunfeng<sup>2</sup>, Sun Guoping<sup>3</sup>, et al

( Dept of Oncology, The Fourth Affiliated Hospital of Anhui Medical University, Hefei 230022;

<sup>2</sup> Dept of Radiotherapy <sup>3</sup>Dept of Oncology The First Affiliated Hospital of Anhui Medical University , Hefei 230022)

**Abstract** *Objective* To investigate the radiosensitization effect and underlying mechanism of Paeonol on human esophageal squamous carcinoma cell line Eca-109 *in vitro*. *Methods* Cytotoxic effect of Paeonol on cells was evaluated by MTT assay. Radiosensitivity was tested by cytokinesis-block micronucleus assay. Cell survival was evaluated by Clonogenic assay. The expression of COX-2 and Survivin were detected by immunohistochemical method. *Results* ① Cell growth was inhibited by Paeonol in a dose-dependent manner and the IC<sub>50</sub> was (59. 40  $\pm$  2. 23) mg/L. ② Paeonol combined with irradiation increased chromatin damage of Eca-109 cell, which meat enhancement of

# IGF-1 对缺氧缺血性脑损伤新生小鼠脑细胞线粒体 Cyt-C、caspase-3 表达的影响

陈 琪¹,步仰高²,王 杨¹ 陈志武³

摘要 目的 探讨胰岛素样生长因子4(IGF4)对缺氧缺血 性脑损伤(HIBD)新生小鼠脑细胞线粒体细胞色素 C(Cyt-C)、caspase-3 表达的影响。方法 108 只新生 C57/BL 小鼠 随机分为正常对照组、缺氧缺血(HI)组和HI+IGF4组,改 良 Rice 法制作新生小鼠右脑 HIBD 模型。HI + IGF-1 组干 HI 后即刻予腹腔注射 IGF-1 (50 μg/kg) ,HI 组及正常对照 组注射等量的生理盐水。应用 Western blot 和 RT-PCR 法检 测各组皮质、海马、丘脑 0、3、6、12、24 和 48 h Cyt-C、caspase-3 蛋白和 mRNA 表达。结果 ① HI 组 Cyt-C、caspase-3 mR-NA 及蛋白表达明显增加出现在皮质术后 3 h 海马术后 6 h, 丘脑出现在术后 12 h ,明显迟于皮质及海马; ② HI + IGF-I 组 Cyt-C、caspase-3 mRNA 及蛋白表达在 HI 组表达明显增加 的相应时间点虽较正常对照组升高,但较 HI 组表达明显降 低 3 组之间比较差异有统计学意义(P < 0.05); ③ HI 组皮 质 Cyt-C、caspase-3 mRNA 及蛋白表达于术后 3 h 表达明显 增加 6 h 有所下降 ,12~24 h 达到另一高峰 ,峰值时间点 HI + IGF-1 组的表达较 HI 组均降低(P<0.05)。结论 可能通过抑制 Cyt-C 释放 ,减少 caspase-3 表达 ,发挥对新生 小鼠 HIBD 的神经保护作用 JGF4 对皮质的保护有两个时

2014-05-19 接收

基金项目:安徽省自然科学基金面上项目(编号:1308085MH150); 安徽省高校省级自然科学研究项目(编号:KJ2013A167)

作者单位:1安徽医科大学第一附属医院新生儿科 合肥 230022

<sup>2</sup>安徽医科大学解放军临床学院妇产科 / 合肥 230031

3安徽医科大学基础医学院药理学教研室 启肥 230032

作者简介:陈 琪,男,硕士研究生;

王 杨,男,副教授,硕士生导师,责任作者,E-mail:w. yang126@126.com;

陈志武,男,教授,博士生导师,责任作者,E-mail:wzcx-iong@mail.hf.ah.cn

间点。

关键词 缺氧缺血;脑;胰岛素样生长因子4;细胞色素 C; caspase-3;小鼠;新生

中图分类号 R 722.12

文献标志码 A 文章编号 1000-1492(2014)10-1422-06

新生儿缺氧缺血性脑损伤(hypoxic-ischemic brain damage ,HIBD) 是因围生期窒息导致脑的缺氧 缺血性损害 是新生儿死亡和神经功能后遗症的重 要原因 与成年后的智力、行为障碍密切相关。缺氧 缺血(hypoxic-ischemic, HI)引起的脑细胞死亡存在 复杂的凋亡机制,且凋亡引起的损伤更严重[1]。 caspase-3 是凋亡的关键效应蛋白 ,HI 时细胞线粒体 功能受损,胞质中 Cyt-C 释放入胞质从而激活 caspase-3 引起细胞凋亡。胰岛素样生长因子-1 (insulin-like growth factor-1, IGF-1)是一种多肽类神经 营养因子,与神经再生有密切关系。IGF-1 可增加 HI 后神经细胞的存活率,抑制神经细胞凋亡,对神 经细胞有明显的保护作用[2-3]。目前关于 IGF-1 的 研究多见于成年大鼠,对新生小鼠 HIBD 神经保护 作用的研究报道甚少,尤其是外源性 IGF4 的神经 保护作用是否与其影响 Cyt-C 的表达有关的报道较 少。该研究在 HIBD 模型基础上,观察了 IGF4 对 HIBD 后脑组织 Cyt-C、caspase-3 表达的影响,同时 探讨 IGF-1 对 HIBD 的神经保护作用及机制。

#### 1 材料与方法

1.1 实验动物 新生7日龄 SPF级 C57/BL 小鼠

radiosensitivity. ③ Paeonol could enhance cell radiosensitivity and the sensitizing enhancement ratio (SER) was 1.092. ④ After exposure to 6 Gy X-ray for 48 h , the protein expression of COX-2 and Survivin was up-regulation (P < 0.01). On the contrary , pretreatment (using 3.91.7.81.15.63 mg/L Paeonol) combined with radiation reduced the protein expression of COX-2 and Survivin in varying degrees , showing significant differences (P < 0.01) , except the protein expression of COX-2 at 3.91 mg/L. The down-regulation of the two protein expression was positively correlated (r = 0.955 P < 0.05). *Conclusion* Paeonol improves radiosensitivity of human esophageal carcinoma cell line Eca-109 in vitro , perhaps by inhibiting the expression of COX-2 and Survivin.

**Key words** Paeonol; esophageal carcinoma; radiosensitivity; COX-2; Survivin